



Detalle de la formación carbonatada de edad Miocena.  
Neg. 1FP-12-13 Estación FP-313



Vista general de la hoz del Río Júcar, próxima al pueblo de Alarcón, excavada en materiales calizos y dolomíticos del Cretácico superior.

Neg. 1FP-16-17

Estación FP-302-303



Vista general de las formaciones carbonatadas de edad Turoniense—Senoniense del paraje de Alarcón. El camino visible a media ladera, en la fotografía, coincide con el tramo margoso de tránsito entre ambos pisos.

Neg. 1FP-19-20

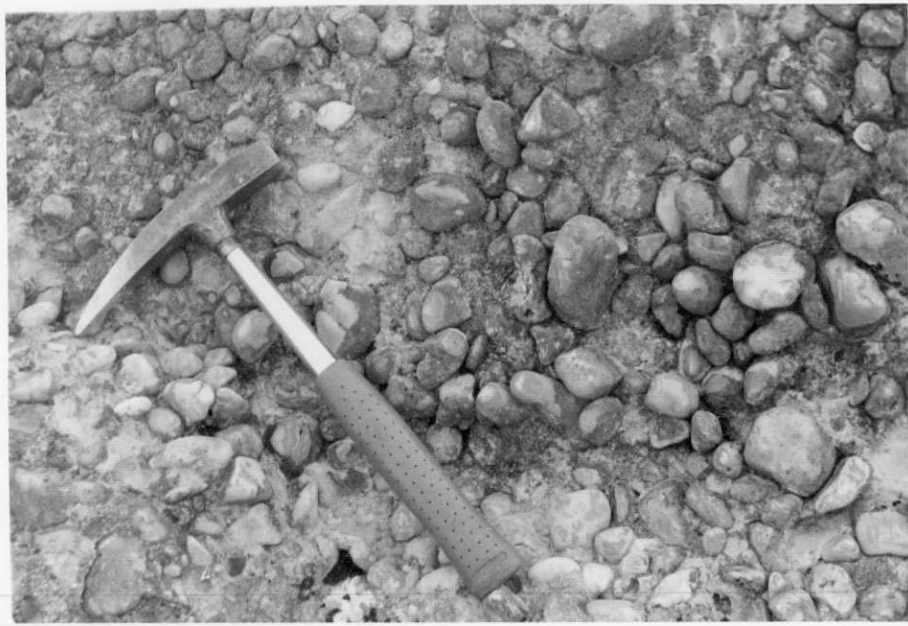
Estación FP-301-302

Aspecto parcial de un talud de materiales detriticos  
del Oligoceno. Los resaltes se deben a lechos de con-  
glomerados intercalados entre arcillas.

Neg. 1FP-2

Estación FP-308





Detalle de brecha conglomerática con cemento calcáreo ferruginoso  
del Oligoceno.

Neg. 1FP-3

Estación FP 309

Detalle del contacto entre el Cretácico superior  
y los conglomerados groseros pertenecientes al  
Oligoceno.

Neg. 1FP-4

Estación FP-310





Detalle del contacto entre calizas del Cretácico superior y la formación brechica-conglomerática del Oligoceno.

Neg. 1FP-5

Estación 311



Aspecto que presenta la formación calcárea  
miocena al sur de la Hoja.

Neg. 1FP-6

Estación FP-312



Detalle de un fragmento de la formación  
carbonatada del Mioceno.

Neg. 1FP-7

Estación FP-307



Aspecto local del contacto entre la formación calcáreo-detritica de edad Miocena y el Oligoceno arcilloso (Barranco de Vallehermoso). Neg. 1FP-9-10 Estación FP-305-306